



## GIS-BASED MODERN POLLEN–CLIMATE CALIBRATION SET FROM THE KAMCHIA RIVER DOWNSTREAM REGION (EASTERN BULGARIA) FOR 2019

**Abstract:** A dataset consisting of 30 modern pollen surface samples from the basic plant communities in the Kamchia River downstream region was created in order to obtain reliable modern pollen analogues for palaeoclimate reconstructions using the Modern Analog Technique (MAT). Pollen percentage values were calculated on a sum of 42 pollen taxa for each pollen sample. Climatological data for each site, including average annual temperature, average temperature of the warm and cold half-year and average annual precipitation were taken from the nearest meteorological station and were corrected with an altitudinal coefficient of temperature variation. Statistical analysis was used to reveal the relationship between individual pollen types and climate variables in order to create a GIS-based modern calibrated climate-pollen dataset for 2019 year.

### Author information:

#### Stoyan Vergiev

Senior Assistant Professor, PhD  
Department of Ecology and Environmental protection  
Technical University of Varna  
✉ [stvergiev@gmail.com](mailto:stvergiev@gmail.com)  
🌐 Bulgaria

#### Keywords:

Modern pollen data, Modern pollen dataset, pollen, climate variables, modern analog technique (MAT), Kamchia River, Eastern Bulgaria.

*Acknowledgements.* Научните изследвания, резултатите от които са представени в настоящата публикация, са извършени по проект НП7/2020 „Създаване на динамичен ГИС модел за ландшафтно-екологични изследвания чрез дистанционни методи на Долнокамчийския район“ в рамките на присъщата на ТУ-Варна научноизследователска дейност, финансирана целево от държавния бюджет.

### Увод

Необходимостта от точни количествени данни за палеоклиматите налага замяната на интуитивните качествени интерпретации на фосилните поленови спектри, получени при спорово-поленовия анализ, с количествени математически модели [1, 2]. Методът на съвременните аналози (МСА) [3, 4, 5] намира все по-голямо приложение при палеоклиматични реконструкции и се основава на събирането на съвременни повърхностни поленови проби и на сравнението на наличието и процентното участие на поленови типове в тях със съвременни климатични данни, като по този начин се установява зависимостта полен – климат [6]. Климатичните променливи свързани с най-сходната съвременна проба, могат да бъдат асоциирани към времето и мястото на фосилната проба, която се реконструира в рамките на даден географски район [3, 5].

Съвременните данни, които трябва да бъдат използвани при палеорекоkonструкцията, за да се намери необходимия минимален брой съвременни аналози, са в линейна зависимост от мащаба на изследвания район, т.е. колкото по-голям е изследвания район, толкова повече съвременни аналози трябва да бъдат приложени [7]. Ето защо, от голямо значение е натрупването на база от съвременни калибрирани данни за прецизиране на моделите,

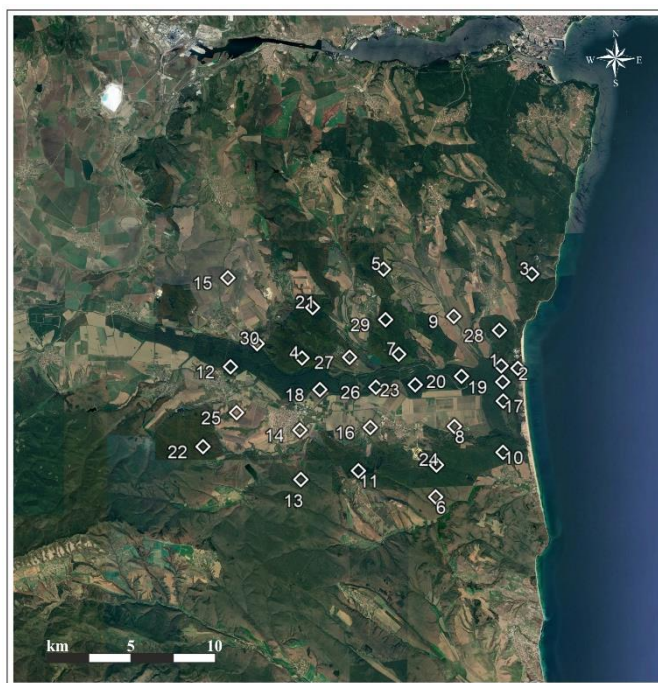
допускане на относително по-малки грешки, а от там и до по-голяма точност на реконструкциите [1, 6].

Методът на съвременните аналози (МСА) е тестван и валидиран чрез симулации [1, 2] и приложен в Източна България в серия от палеоклиматични реконструкции [8, 9, 10], потвърждаващи данните от класическите интуитивни интерпретации на фосилни спектри от същите региони [11, 12, 13].

Целта на настоящото изследване е да се изготви съвременен калибрационен сет (СКС) за Долнокамчийския район за 2019, който да инкорпорира масивите от поленови данни от съвременни повърхностни проби и прилежащите им климатични параметри в ГИС среда, като по този начин се остойности зависимостта полен-климат, така че да може да бъде използвана при палеоекологични реконструкции.

### Материал и методика

За изясняване на връзката полен–климат в съвременни условия, са събрани 30 двойни съвременни повърхностни проби – по една повърхностна почвена проба (ППП) и една повърхностна мъхова проба (ПМП) през 2019 г. (Фиг. 1).



Фиг. 1. Местоположение на съвременните повърхностни проби.

За анализ са вземани на случаен принцип 5 повърхностни почвени подпроби от по 2 – 3 cm<sup>3</sup> от почвения субстрат на дълбочина максимум до 5 cm и няколко подпроби от мъхове от различни видове в рамките на пробна площадка с размери 1 × 1 m. Впоследствие, подпробите са смесени в една и от нея е взето количество от 3 cm<sup>3</sup>.

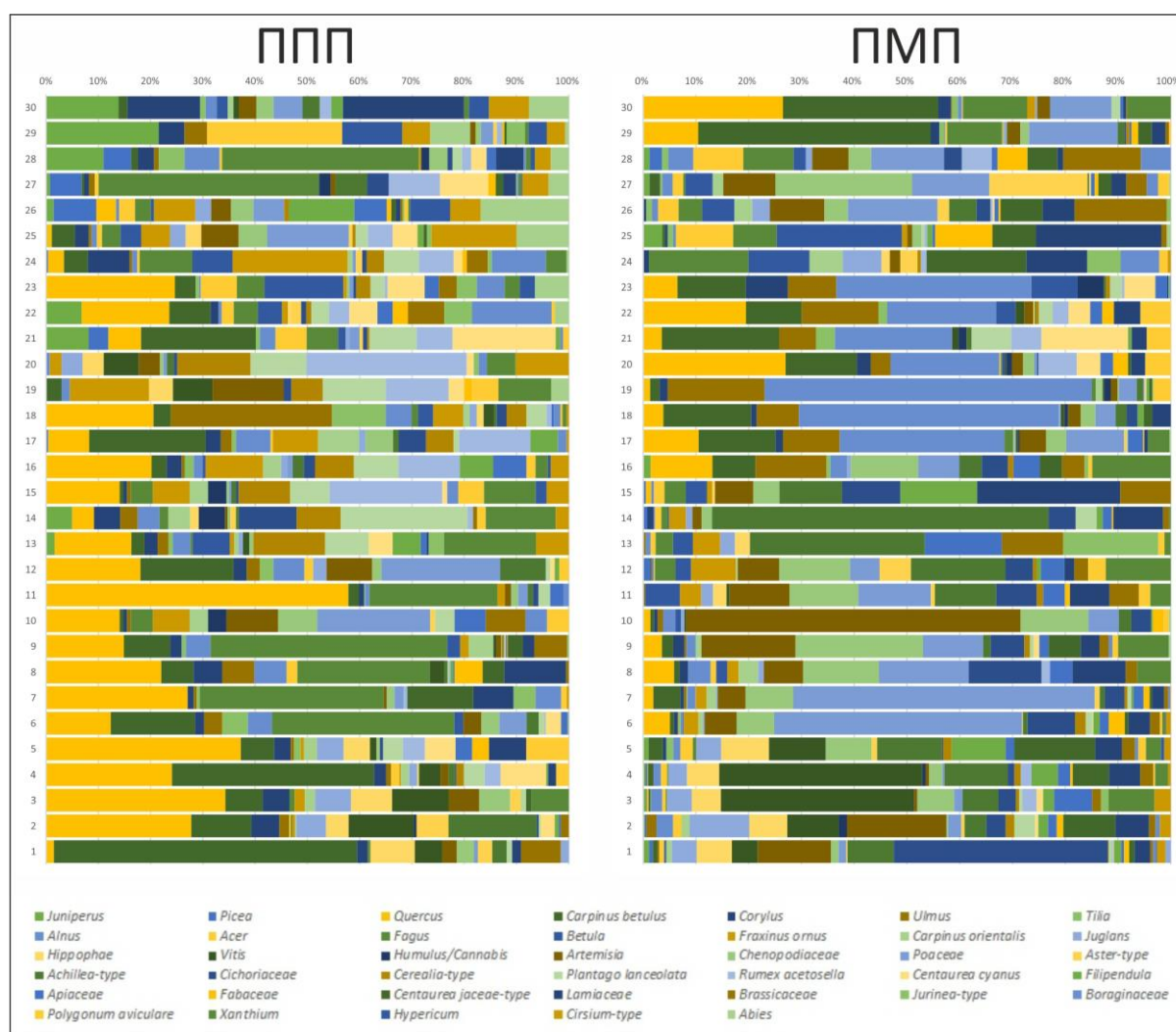
Лабораторната обработка на пробите е извършена в Лабораторията по базови биологични дисциплини към катедра „Екология и опазване на околната среда“, Технически университет – Варна в съответствие със стандартния ацетолузен метод [14, 15]. За определяне на статистическите зависимости в поленовите спектри са изготвени нетрайни глицеринови микроскопски препарати, в които са изброявани и определяни до най-ниско таксономично ниво всички срещани се в пробите поленови зърна и спори.

При установяване на зависимостта полен–климатични фактори е приложен Анализът на остатъците (Redundancy Analysis, RDA) [16, 17], като статистическата обработка на данните и графичното представяне е осъществено с помощта на софтуерния продукт CANOCO 4.5 [18].

### Резултати и обсъждане

Данните за четирите основни параметъра на климата: средногодишна температура (СГТ), средна температура на студеното полугодие (СТСП), средна температура на топлото полугодие (СТТП) и средногодишна сума на валежите (СГСВ) са взети от най-близката до пробата метеорологична станция [19]. При отдалечени проби беше извършена корекция на метеорологичните стойности, в зависимост от разликата в надморската височина между метеорологичната станция и опробвания терен. С цел да се получат тези корекционни фактори беше извършен анализ на наличните данни от станциите и надморската височина на която се намират. За СГТ – беше получен коефициент 0,53°C на 100 m надморска височина. Полученият резултат е близък до използвания в световната практика коефициент на температурно отклонение от 0,57°C на 100 m надморска височина [20] и превишаващ получения от Luo *et al.* [21] – 0,46°C/100 m. За другите променливи бяха получени следните данни: СТСП – 0,54°C/100 m; СТТП – 0,51°C/100 m и СГСВ – 48 mm/m<sup>2</sup>/100 m.

При извършения спорово–поленов анализ на съвременните проби бяха установени 42 поленови таксона, които се срещат и в изследваните фосилни проби в района (Фиг. 2).



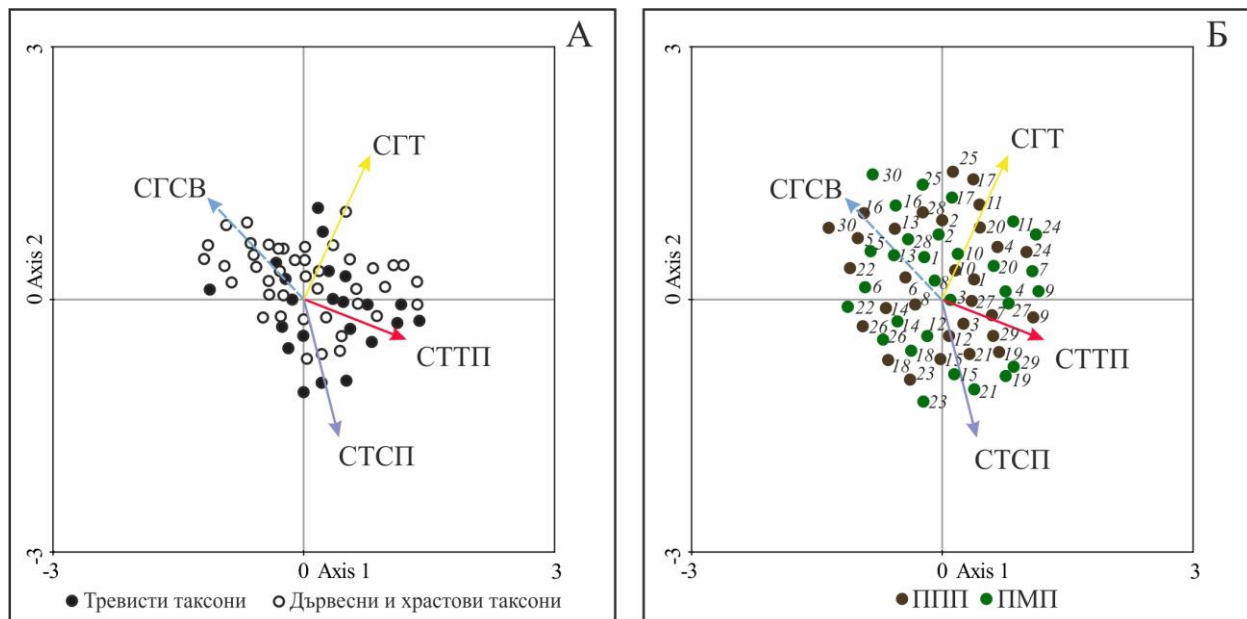
Фиг. 2. Процентно участие на индикаторните таксона в поленовите спектри.

От голямо значение за интерпретацията на зависимостта полен–климат е намирането на статистическа зависимост в съвременните проби и след това интерполирането ѝ за фосилните. При анализа на тази зависимост, за всеки отделен поленов таксон, може да се прецени пригодността му и дали той да бъде включен или изключен като индикатор.

С цел да се гарантира, че рядко срещаните, но важни за крайните резултати поленови таксони няма да отпаднат, беше приложен методът „Square–root transformation“ и беше изчислена общата сума на квадратните отклонения на процентното участие на всеки от поленовите типове.

При извършения статистически анализ бяха изчислени и корелационните коефициенти на Pearson между процентното участие на всеки от поленовите типове във всяка проба и климатичните променливи (Фиг. 3а). По този начин бяха идентифицирани някои аномалии и отклонения, бяха интерпретирани връзките между поленовите типове и климатичните променливи и бяха определени индикаторните видове, които да бъдат включени при изчисленията [1, 6].

От откритите при спорово–поленовия анализ 50 поленови таксона, в модела бяха включени само видовете със значими коефициенти на корелация ( $R>0,27$ ,  $p=0,2$ ,  $N=63–598$ ). Техният брой е 42.



Фиг. 4. Ординационни диаграми на анализ на остатъците (RDA).

А) Биplot показващ взаимовръзката между растителните таксони и климатичните параметри (Всяка точка показва осредненото участие на поленовите типове); Б) Биplot показващ взаимовръзката между поленовите спектри и климатичните параметри.

Въз основа на факторен анализ на променливите климатични данни и процентното участие на всеки тип в спектрите беше изчертана диаграма. На нея е съотнесен всеки поленов спектр към коефициентите на корелация на климатичните параметри (Фиг. 3б).

Процентното съотношение на избраните като подходящи за индикатори таксони във всяка проба беше преизчислено до 100% (Фиг. 2). На база извършените анализи бяха определени като представителни всичките изследвани поленови спектри от територията на Източна България.

## Изводи

Извършените анализи показват значима корелация на климатичните параметри и процентните съотношения на таксоните в поленовите спектри. За 92 % от поленовите типове е установена линейна зависимост между процентното им съотношение и климатичните променливи. Получените данни за Долнокамчийския район за 2019 са приложими при палеоклиматични реконструкции в ГИС среда.

## References:

1. **Vergiev, S. 2014.** Paleoekologiya i geoarheologiya na gornopleystotshenski i holotshenski sedimenti po danni ot dulbokovodnata chast na Cherno more i Varnenskoto ezero. Ph. D. Thesis. IO-BAN, Varna, AI "prof. M. Drinov", BAN, Sofia, (in Bulgarian).
2. **Vergiev, S., Filipova-Marinova, M., Giosan, L., Pavlov, D., Slavchev, V. 2014.** Pollen-based quantitative reconstruction of holocene vegetation in Varna Lake area (Northeastern Bulgaria) using modelling and simulation approach. *Comptes Rendus de L'Academie Bulgare des Sciences*, 67(6):831–834.
3. **Overpeck, J., Webb III, T., Prentice, I. 1985.** Quantitative interpretation of fossil pollen spectra: dissimilarity coefficients and the method of modern analogs. *Quat. Res.*, 23(1): 87–108.
4. **Prell, W. 1985.** The stability of low-latitude sea-surface temperatures: an evaluation of the CLIMAP reconstruction with emphasis on the positive SST anomalies. Report TR 025, US Department of Energy, Washington, DC.
5. **Guiot, J., 1990.** Methodology of the last climatic cycle reconstruction in France from pollen data, *Palaeogeogr. Palaeoclimatol. Palaeoecol.*, 80:49–69.
6. **Vergiev, S., Filipova-Marinova, M. 2017.** GIS-based model for analysis of modern pollen-climate relationship: Calibration set from Eastern Bulgaria, *Proceedings of the 5<sup>th</sup> SSC "Ecology and environment"*, 56–66.
7. **Seppä, H., Birks, H., Odland, A., Poska, A., Veski, S. 2004.** A modern pollen-climate calibration set from northern Europe: developing and testing a tool for palaeoclimatological reconstructions, *Journal of Biogeography*, 31:251–267.
8. **Vergiev, S., Filipova-Marinova, M., Pavlov, D., Coolen, M., Giosan, L., 2013.** Pollen-based paleoclimate reconstructions of the Central Bulgarian Black Sea Coast during the last 13000 years using modern analog technique (MAT), National Conference "GEOSCIENCES 2013" with International Participation, 81–82.
9. **Vergiev, S., Filipova-Marinova, M., Pavlov, D., Giosan, L., Slavchev, V. 2014.** Pollen-based paleoclimate reconstructions of the Varna-Beloslav Lake area during the last 6200 years using pollen-based analysis and modern analog technique (MAT) National Conference "GEOSCIENCES 2014" with International Participation, 71–72.
10. **Vergiev, S., Filipova-Marinova, M. 2015.** Pollen-based palaeoclimate reconstructions of the Shabla-Ezeretz lake area during the last 7000 years using modern analog technique (MAT) National Conference "GEOSCIENCES 2015" with International Participation 123–124.
11. **Filipova-Marinova, M., Pavlov, D., Vergiev, S., Slavchev, V., Giosan, L. 2014.** Varna Lake (north-eastern Bulgaria): vegetation history and human impact during the last 8000 years. *Grana*, 53(4):309–311.
12. **Filipova-Marinova, M., Pavlov, D., Coolen, M., Giosan, L., Vergiev, S. 2014.** Contributions to the European Pollen Database. 22. Vegetation development in the central part of the Bulgarian Black Sea coast during the last 13 000 years. *Grana*, 53(3):249–251

13. **Filipova-Marinova, M., Pavlov, D., Vergiev, S., Slavchev, V., Giosan, L. 2013.** Palaeoecology and geoarchaeology of Varna Lake, northeastern Bulgaria. *Comptes Rendus de L'Academie Bulgare Des Sciences*, 66(3):377–392.
14. **Faegri, K., Iversen, J. 1989.** Textbook of pollen analysis, John Wiley, Sons, Chichester.
15. **Birks, H., Birks, H. 1980.** Quaternary Palaeoecology, Edward Arnold, London.
16. **ter Braak, C. 1986.** Canonical correspondence analysis: a new eigenvector technique for multivariate direct gradient analysis, *Ecology*, 67:1167–1179.
17. **ter Braak, C., Verdonschot, P. 1995.** Canonical correspondence analysis and related multivariate methods in aquatic ecology, *Aquatic Sciences*, 57:255–289.
18. **ter Braak, C., Smilauer, J. 2002.** CANOCO reference manual and CanoDraw for Windows user's guide: software for canonical community ordination (version 4.5).
19. **Mesechen hidrometeorologichen Byuletin**, NIMH – BAN, <http://www.meteo.bg/>.
20. **Laaksonen, K. 1976.** The dependence of mean air temperatures upon latitude and altitude in Fennoscandia (1921 – 1950), *Annales Academiae Scientiarum Fennicae A III*, 119:1–19.
21. **Luo, C., Zheng, Z., Tarasov, P., Nakagawa, T., Pan, A., Xu, Q., Lu, H., Huang, K. 2010.** A potential of pollen-based climate reconstruction using a modern pollen-climate dataset from arid northern and western China, *Review of Palaeobotany and Palynology*, 160:111–125.